

**СОРБЦІЙНІ
ВЛАСТИВОСТІ
ВУГЛЕЦЕВИХ,
КРЕМНЕЗЕМНИХ
СОРБЕНТІВ І ПОРИСТИХ
КООРДИНАЦІЙНИХ
ПОЛІМЕРІВ**

Адсорбція – концентрування речовини на поверхні розділу фаз.

Абсорбція – поглинання речовини, що веде до її накопичення в об'ємі іншої речовини.

Сорбція – сукупна дія адсорбції і абсорбції.

ФІЗИЧНА І ХІМІЧНА АДСОРБЦІЯ

Фізична адсорбція – зв'язування молекул на межі розділу фаз за рахунок “слабких” зв'язків (як правило, дисперсійних сил, диполь-дипольних взаємодій тощо).

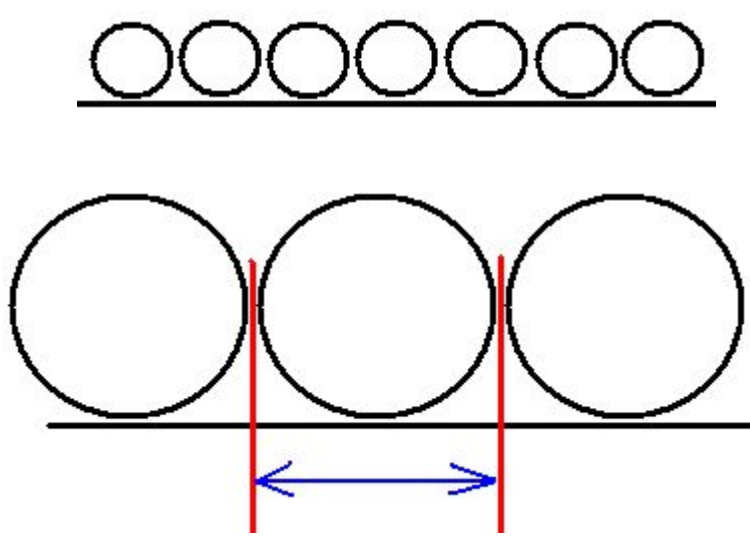
Оборотній процес, зменшення тиску або концентрації адсорбату до нуля призводить до повної десорбції.

Хімічна адсорбція – адсорбція з утворенням хімічних зв'язків. Часто процес необоротній, зменшення тиску або концентрації адсорбату до нуля не призводить до повної десорбції. Повна десорбція часто потребує нагрівання зразку.

Характеристики зразку:

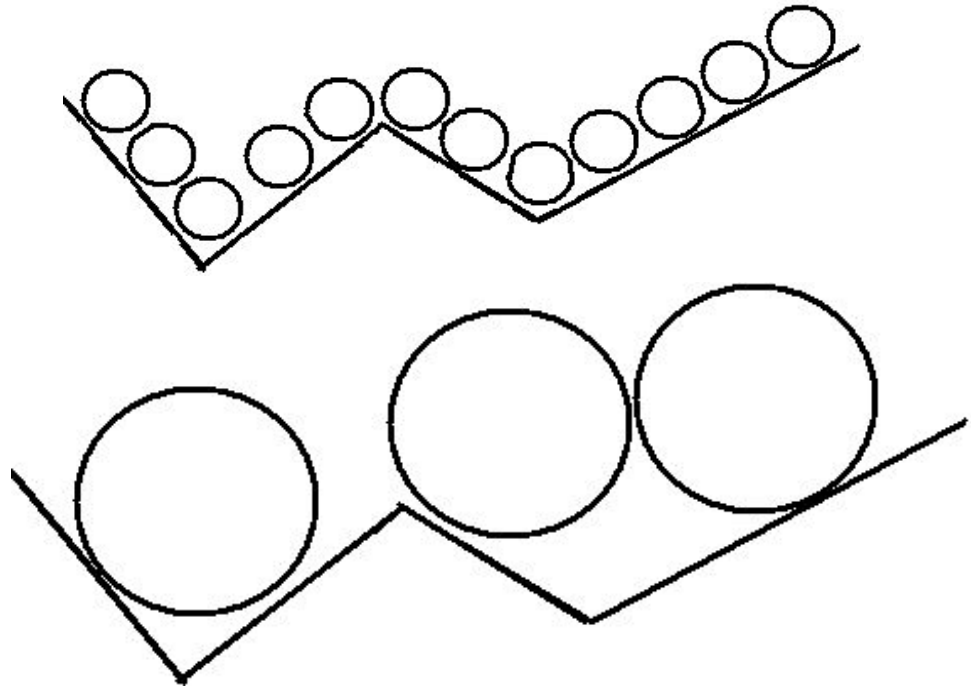
- питома площа поверхні ($\text{м}^2/\text{Г}$)
- об'єм пор ($\text{см}^3/\text{Г}$)
- енергія адсорбції певного субстрату

ЗАПОВНЕННЯ ПОВЕРХНІ



“Посадочна
площадка” a_m

$$S = a_m N_{\max} = a_m n_{\max} N_A$$



Поверхня реальних сорбентів – сукупність атомів, вона не є ідеальною однорідною площиною

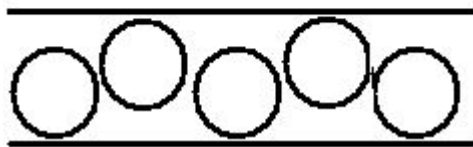
АДСОРБЦІЯ В ПОРАХ

Ультрамікропори – діаметр порівняний з діаметром молекул адсорбату

Мікропори – діаметр до 2 нм

Мезопори – діаметр від 2 до 50 нм

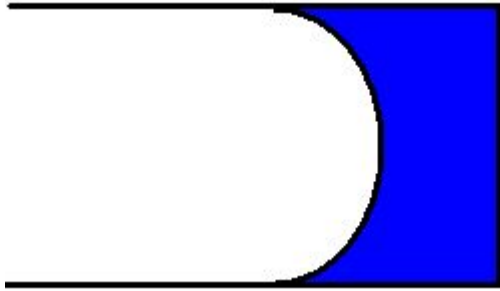
Макропори – діаметр більше 50 нм



Сорбційна ємність
ультрамікропористих зразків
не росте пропорційно збільшенню
діаметру пор

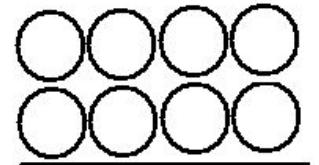
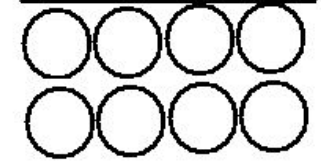
Заповнення ультрамікропор

АДСОРБЦІЯ В ПОРАХ



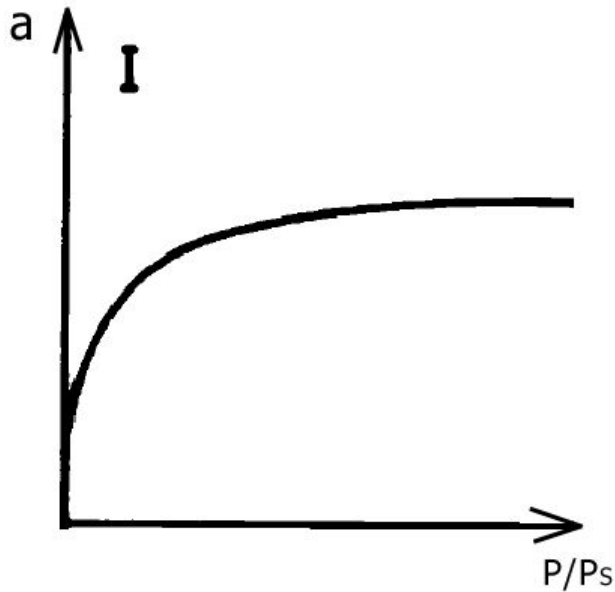
Заповнення мікропор –
завжди конденсація в
усьому об’ємі

Енергія зв’язування
молекули адсорбату в
ультрамікро- і мікропорах
завжди більша, ніж в мезо-
і макропорах, оскільки
молекула “торкається”
стінок з декількох боків

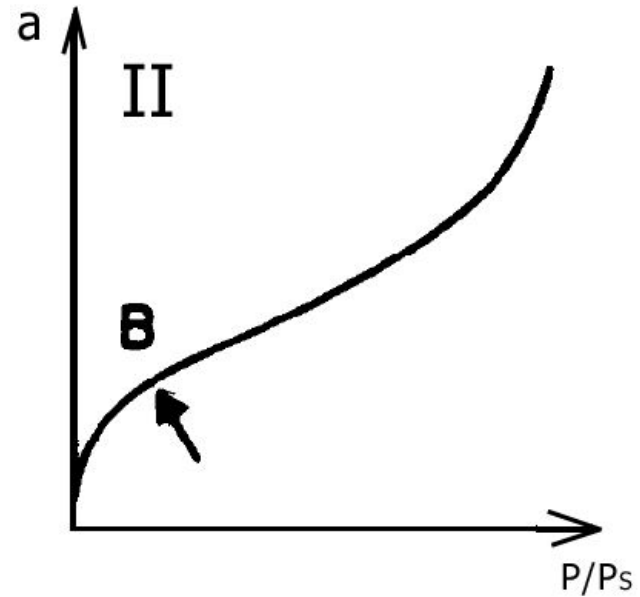


Пошарове заповнення мезопор –
до досягнення “діаметру
капілярної конденсації”

ТИПИ ІЗОТЕРМ ФІЗИЧНОЇ АДСОРБЦІЇ

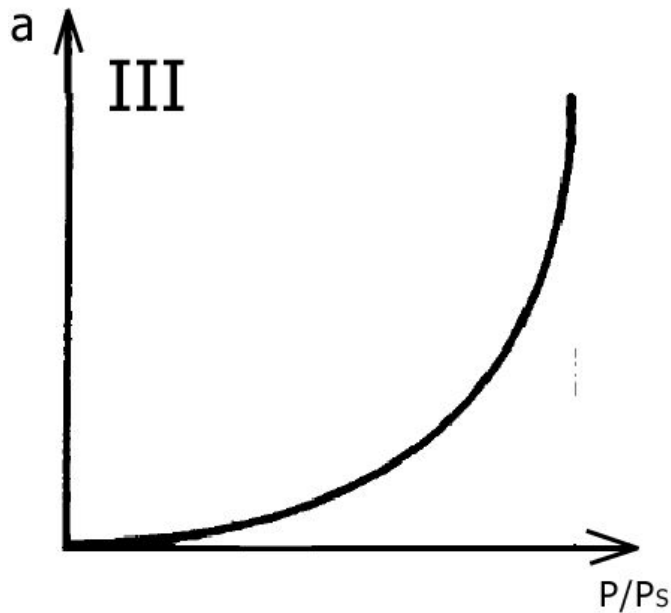


Мікропористий зразок,
мала “зовнішня” поверхня

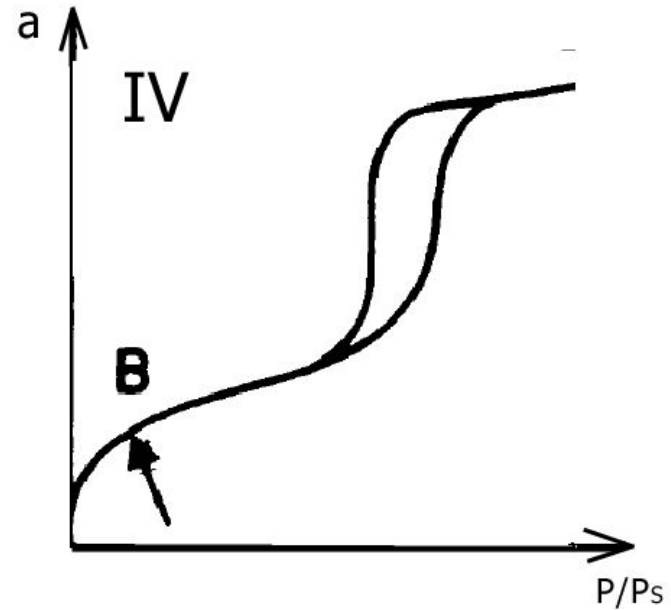


Непористий або
макропористий зразок.
Необмежена моно- і
полішарова адсорбція. Точка В
– початок лінійної ділянки,
приймається за початок
полішарової адсорбції

ТИПИ ІЗОТЕРМ ФІЗИЧНОЇ АДСОРБЦІЇ

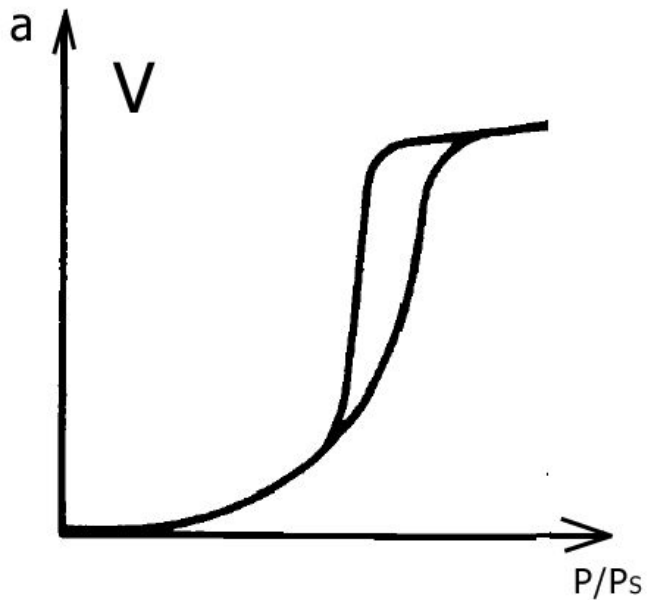


Постійне “посилення” адсорбції, на відміну від лінійного рiсту з тиском (як в ізо­термі типу II). Свідчить про сильні взаємодії адсорбат-адсорбент.

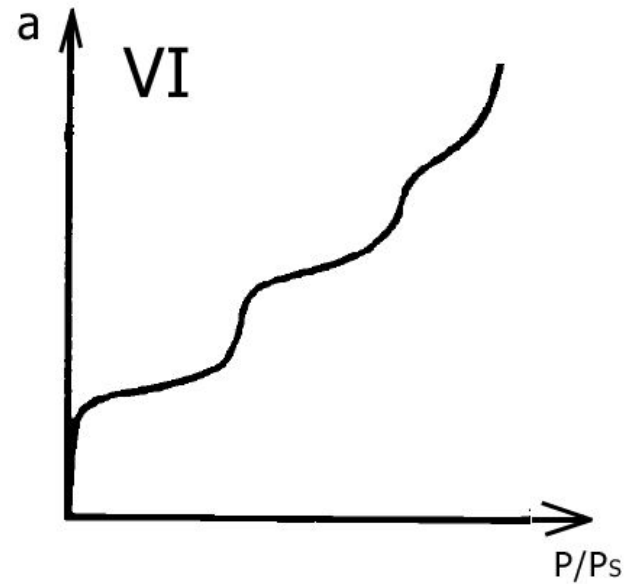


Капілярна конденсація в мезопорах, гістерезис через наявність мезопор

ТИПИ ІЗОТЕРМ ФІЗИЧНОЇ АДСОРБЦІЇ



Нетипова ізотерма, дещо схожа на комбінацію типу III і IV. Спостерігається для деяких сорбентів



Моношарова адсорбція на неоднорідному зразку

ВИЗНАЧЕННЯ ПЛОЩІ ПОВЕРХНІ

Модель Ленгмюра: вважається, що заповнення моношарове

$$\frac{a}{a_{\max}} = \frac{K \cdot P}{1 + K \cdot P}$$

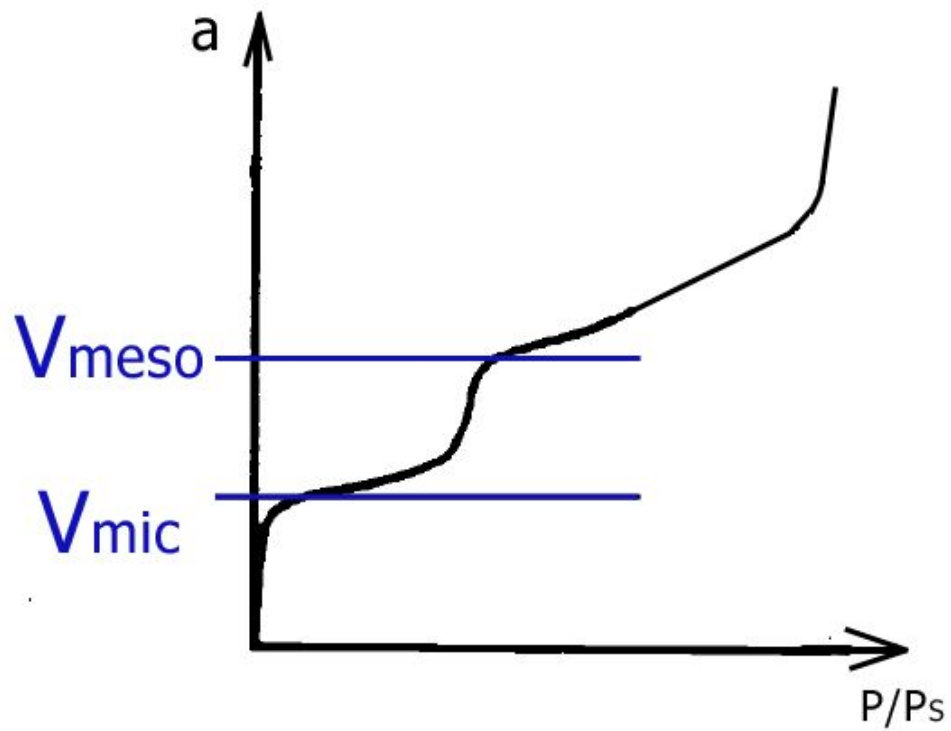
Модель Брунауера-Емметта-Теллера (БЕТ):

$$\frac{p}{n^a \cdot (p^0 - p)} = \frac{1}{n_m^a \cdot C} + \frac{(C-1) p}{n_m^a \cdot C p^0}$$

n^a – кількість адсорбату, що сорбується при певному тиску p/p_0

n_m^a – ємність моношару

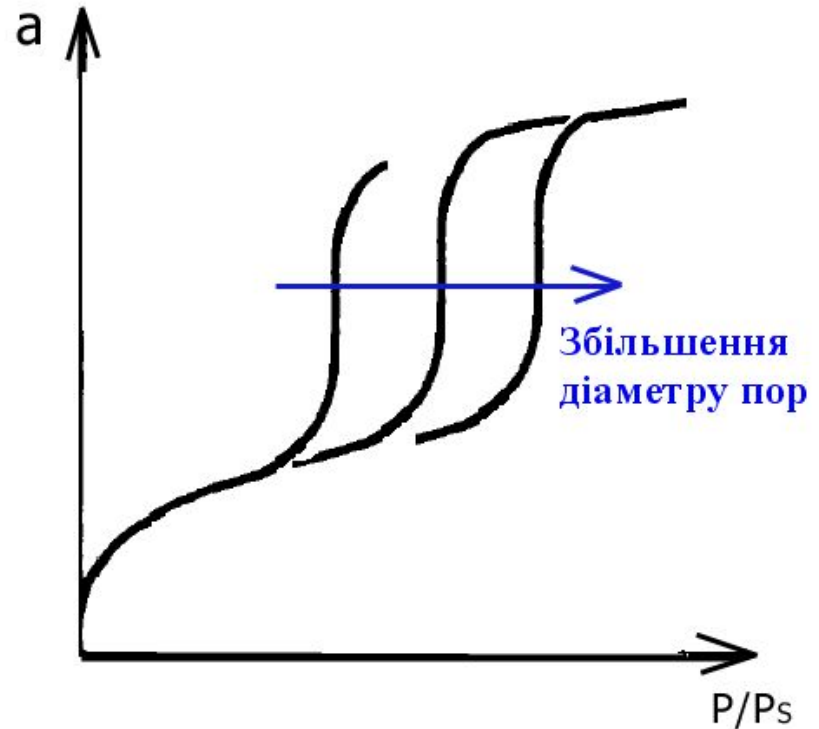
ВИЗНАЧЕННЯ ОБ'ЄМУ ПОР



ВИЗНАЧЕННЯ ДІАМЕТРУ ПОР

Рівняння Кельвіна:

$$p_s / p = \exp\left(\frac{2\sigma v}{rRT}\right)$$



σ – міжфазний поверхневий натяг,

v – молярний об'єм рідини,

p – тиск пари,

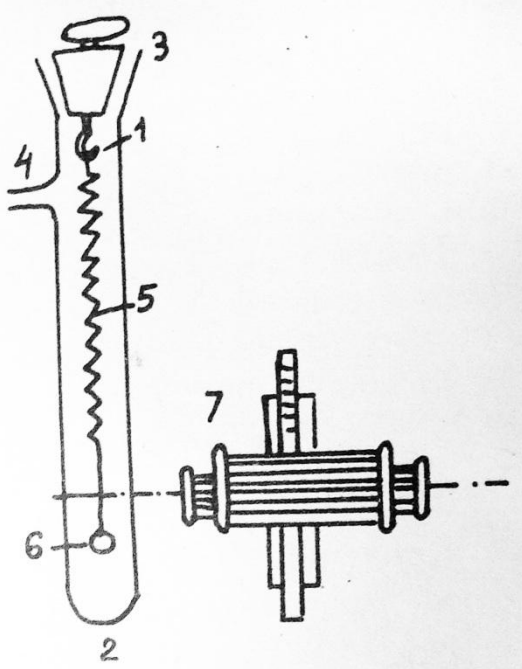
T – температура,

r – радіус середньої кривизни поверхні розділу фаз.

ВИМІРЮВАННЯ ІЗОТЕРМ АДСОРБЦІЇ

Волюметричний метод – вимірювання тиску адсорбату і порівняння фактичного тиску в системі зі значенням, яке мало б бути у випадку, якби не було б адсорбції

Ваговий метод – вимірювання маси зразку в залежності від тиску



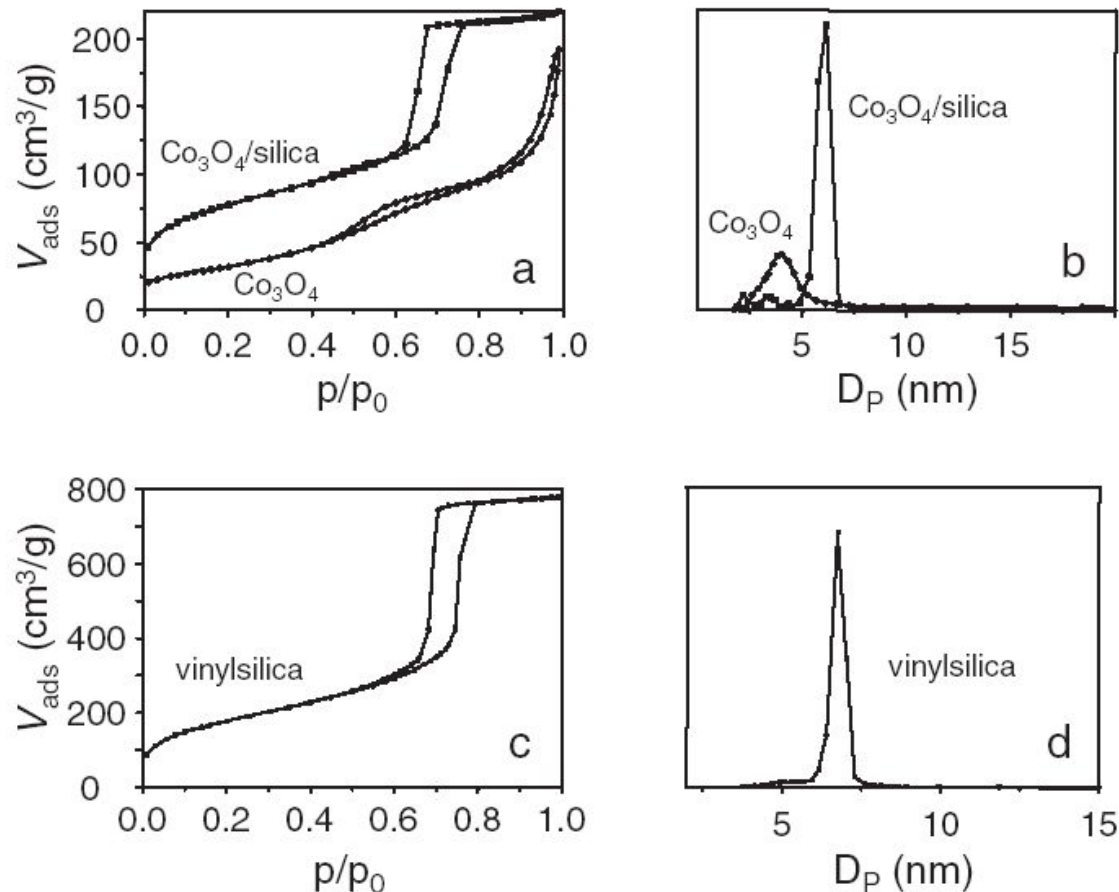
1 – гачок, 2 - скляна ампула на шліфу, 3,4 - відростки для відкачування повітря та введення адсорбату, 5 - кварцова або вольфрамова спіраль, 6 - чашка з адсорбентом, 7 - відрахунковий мікроскоп.

Пружинні мікроваги Мак-Бена

Сорбція N_2 на Co_3O_4 і на композиті Co_3O_4 /силікагель

Y. Wang, C.-M. Yang, W. Schmidt, B. Spliethoff, E. Bill, F. Schuth

Adv. Mater. 2005, 17, 53



Ізотерми сорбції N_2

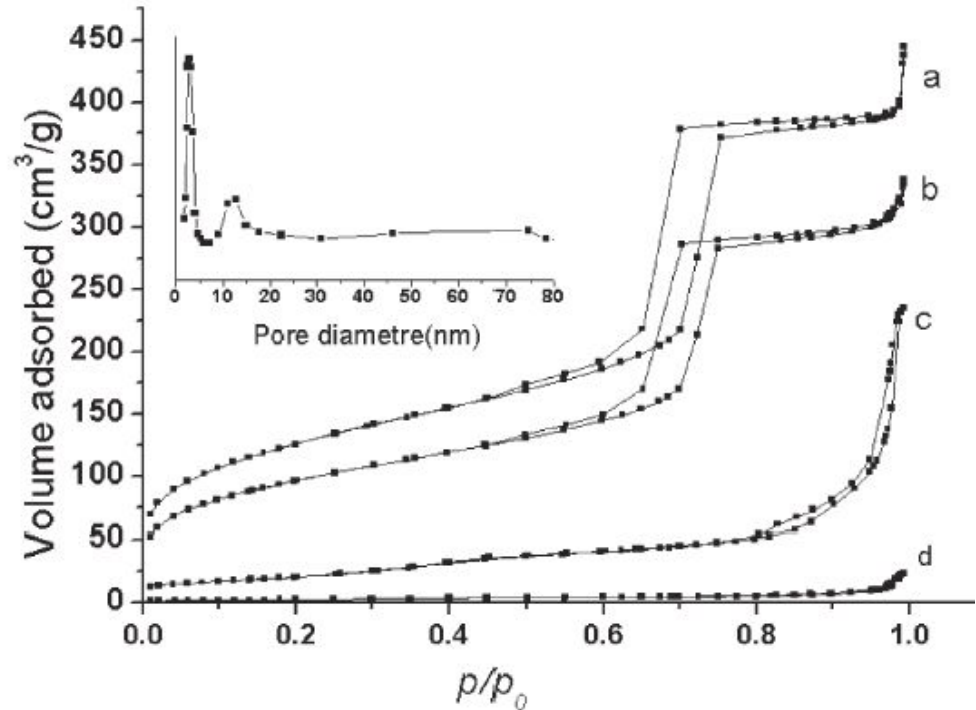
а) мезопористим композитом Co_3O_4 на силікагелі і структуророваним мезопористим Co_3O_4

с) вихідним матеріалом (силікагелем з вініловими групами)

на Рис. b і d наведено розподіл пор по радіусу

Сорбційні властивості мезопористого Cr_2O_3 , синтезованого в тривимірній мезопористій матриці КІТ-6

K. Jiao, B. Zhang, B. Yue, Y. Ren, S. Liu, S. Yan, C. Dickinson, W. Zhou, H. He *Chem. Commun.*, 2005, 5618–5620



Ізотерми сорбції і десорбції N_2 при 77 К

(a) вихідної матриці КІТ-6

(b) мезопористого композиту $\text{Cr}_2\text{O}_3/\text{КІТ-6}$,

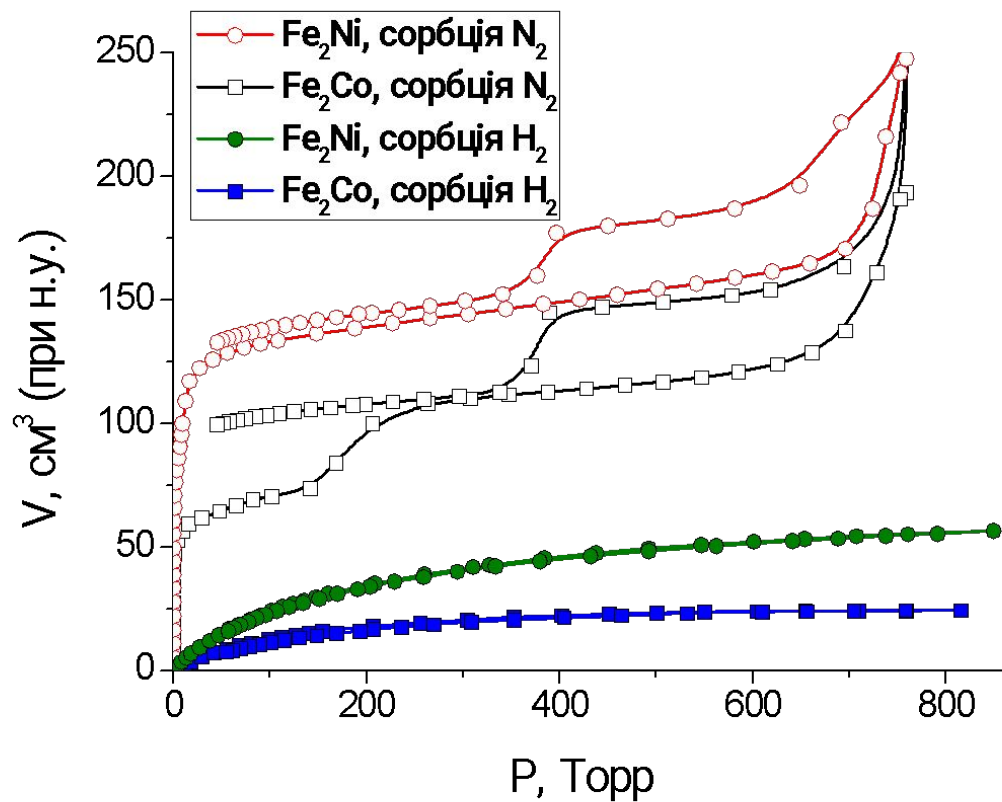
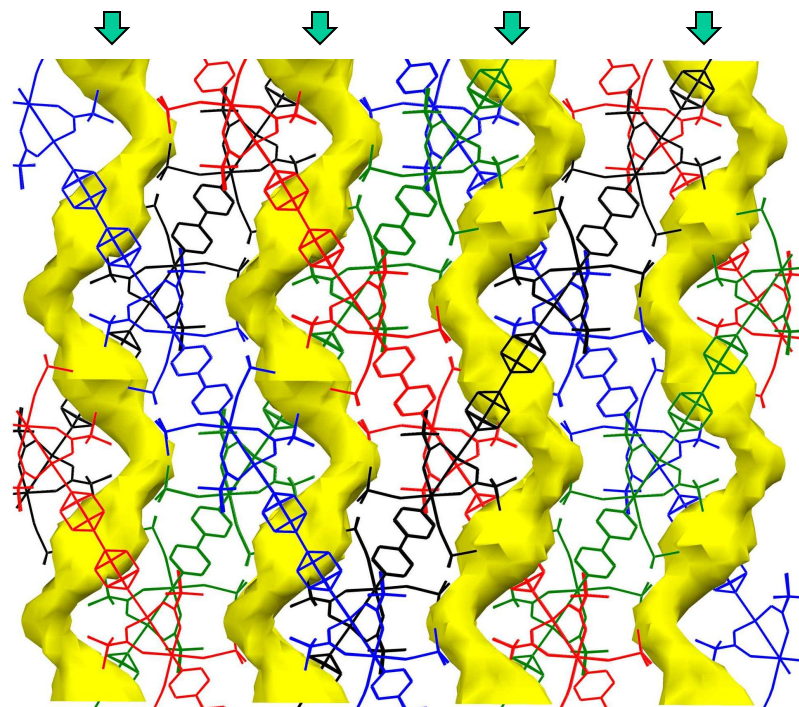
(c) мезопористого Cr_2O_3 , що не містить кремнезему

(d) масивного зразку Cr_2O_3 .

На вкладці наведено розподіл пор по розміру для зразку (c)

Сорбційні властивості 2D-координаційних полімерів $\text{Fe}_2\text{MO}(\text{Piv})_6(\text{bipy})_{1,5}$

Канали в кристалічній ґратці



Приклад розрахунку параметрів ізотерми адсорбції за моделлю Ленгмюра для $\text{Fe}_2\text{NiO}(\text{Piv})_6(\text{bipy})_{1,5}$

1. Вибираємо адсорбційну криву для комплексу $\text{Fe}_2\text{NiO}(\text{Piv})_6(\text{bipy})_{1,5}$

2. Робимо фіт кривої за рівнянням Ленгмюра:

$$a/a_{\max} = K \cdot P / (1 + K \cdot P)$$

$$a = a_{\max} \cdot K \cdot P / (1 + K \cdot P)$$

Позначимо $a_{\max} = P1$, $K = P2$.

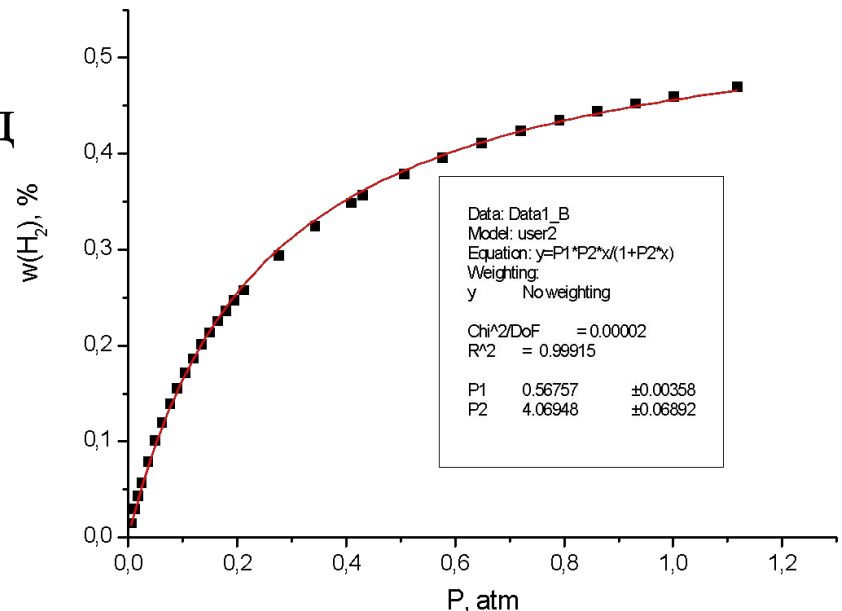
Функція для Origin будет мати вигляд

$$y = P1 \cdot P2 \cdot x / (1 + P2 \cdot x)$$

Результати фіту:

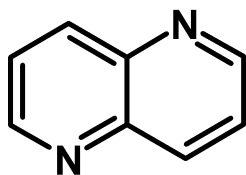
$$P1 = a_{\max} = 0,568(4) \text{ ваг.}\%$$

$$P2 = K = 4,07(7).$$

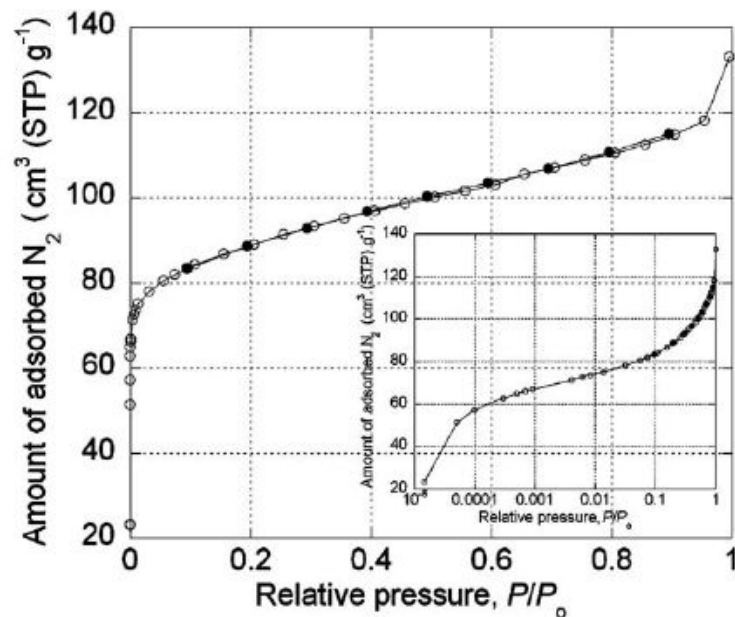
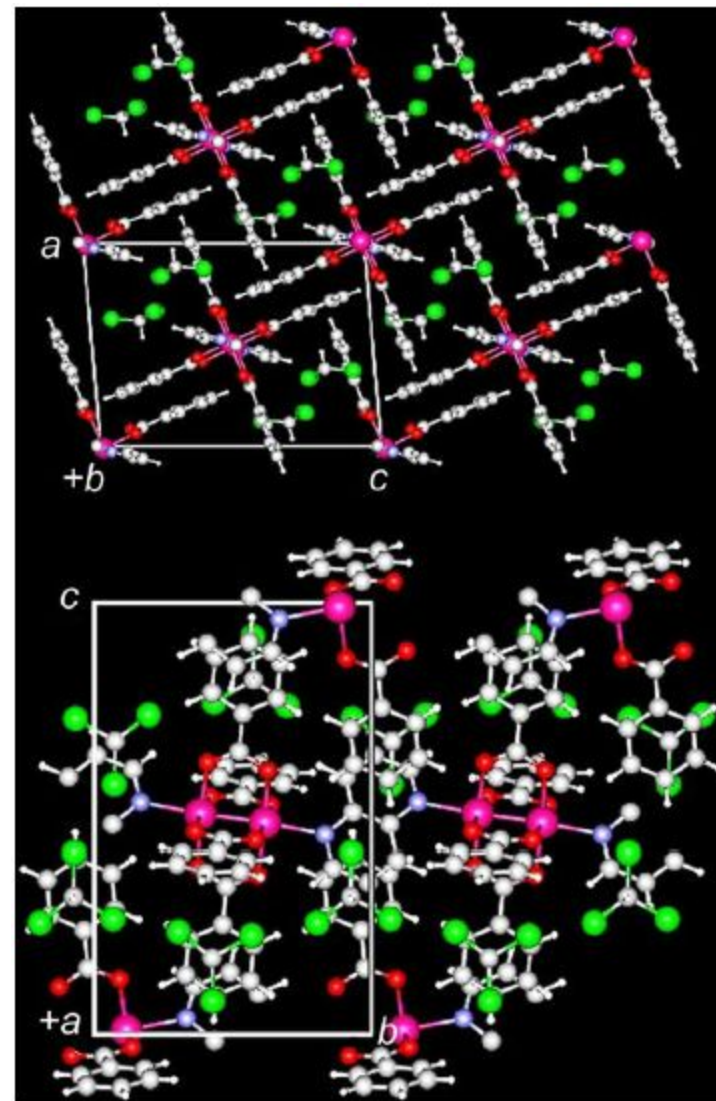


Пористі 1D-координаційні полімери

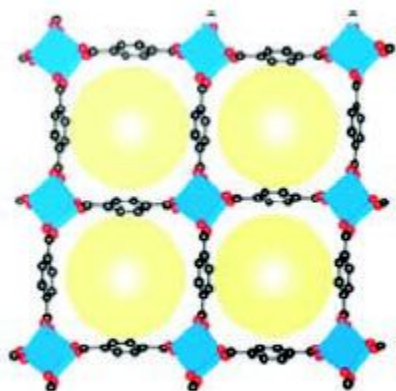
S. Takamizawa, E. Nakata, T. Saito *Inorg. Chem. Comm.* 7 (2004) 125–127



npd



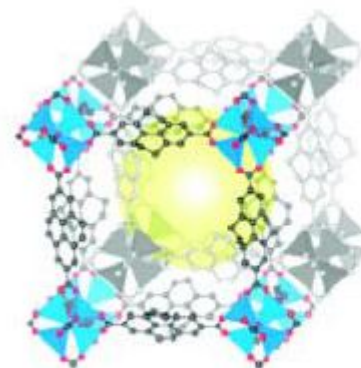
Переваги пористих координаційних полімерів



MOF-2: $Zn_2(BDC)_2$

$d = 5 \text{ \AA}$

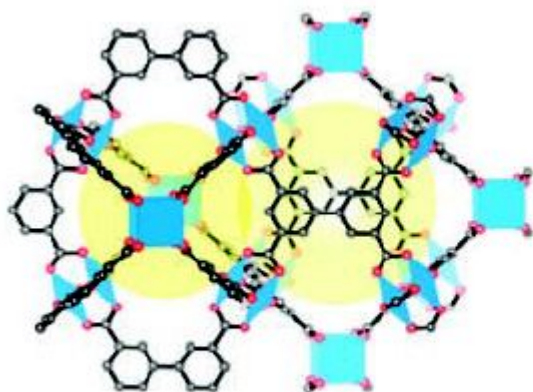
$S_A = 345 \text{ m}^2/\text{g}$



IRMOF-11: $Zn_4O(HPDC)_3$

$7, 12 \text{ \AA}$

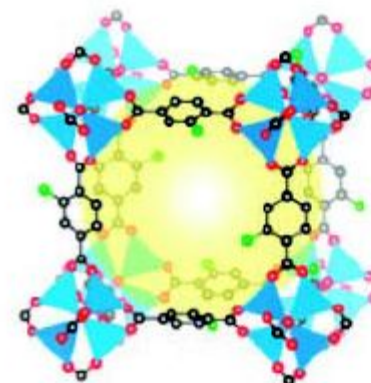
$2,096 \text{ m}^2/\text{g}$



MOF-505: $Cu_2(BPTC)$

$8, 10 \text{ \AA}$

$1,547 \text{ m}^2/\text{g}$

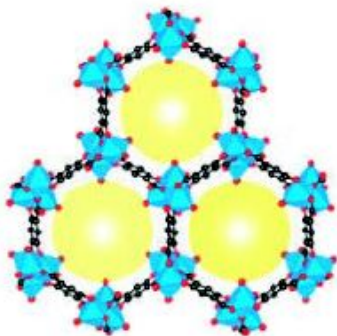


IRMOF-3: $Zn_4O(NH_2BDC)_3$

$10, 15 \text{ \AA}$

$2,160 \text{ m}^2/\text{g}$

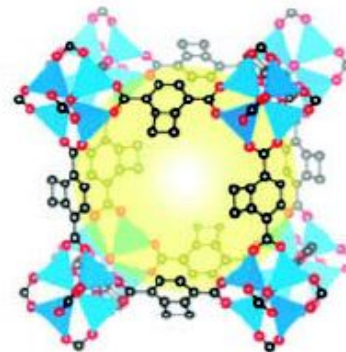
Переваги пористих координаційних полімерів



11 Å

816 m²/g

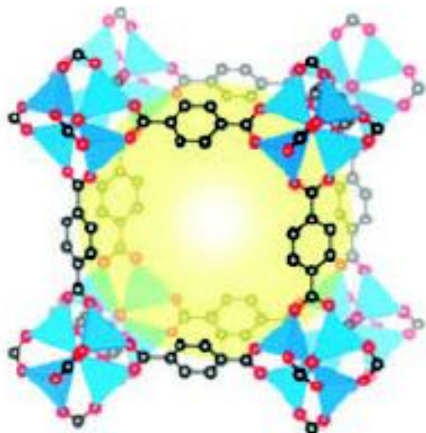
MOF-74: Zn₂(DHBDC)



10, 15 Å

2,516 m²/g

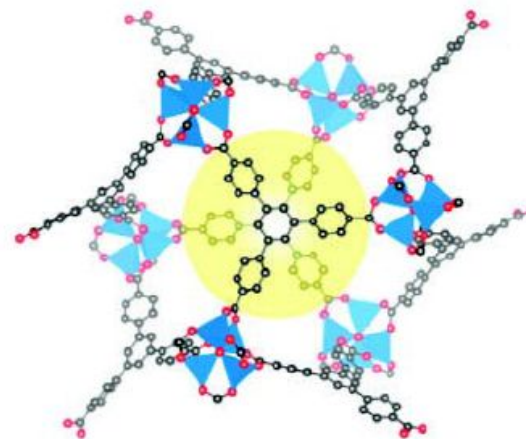
IRMOF-6: Zn₄O(C₂H₄BDC)₃



12, 15 Å

2,833 m²/g

IRMOF-1: Zn₄O(BDC)₃



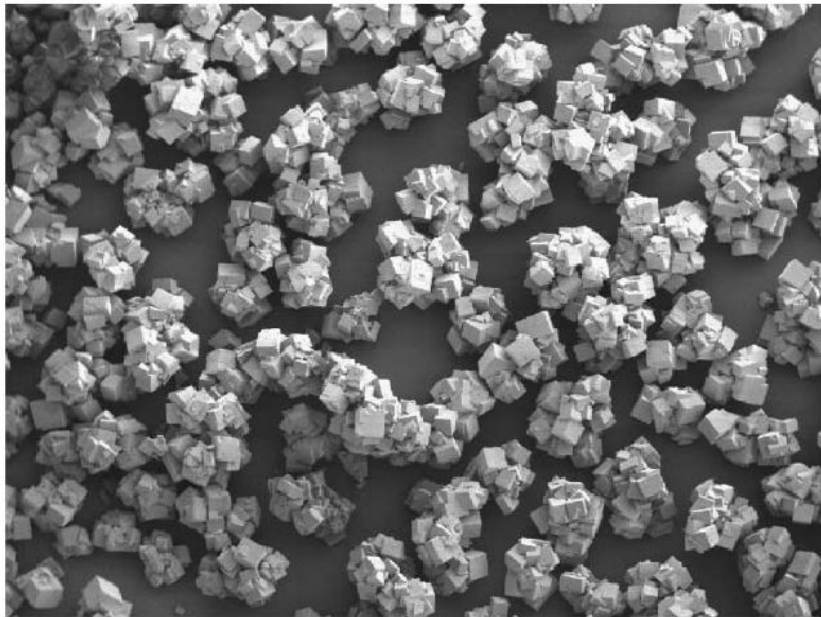
11, 17 Å

4,508 m²/g

MOF-177: Zn₄O(BTB)₃

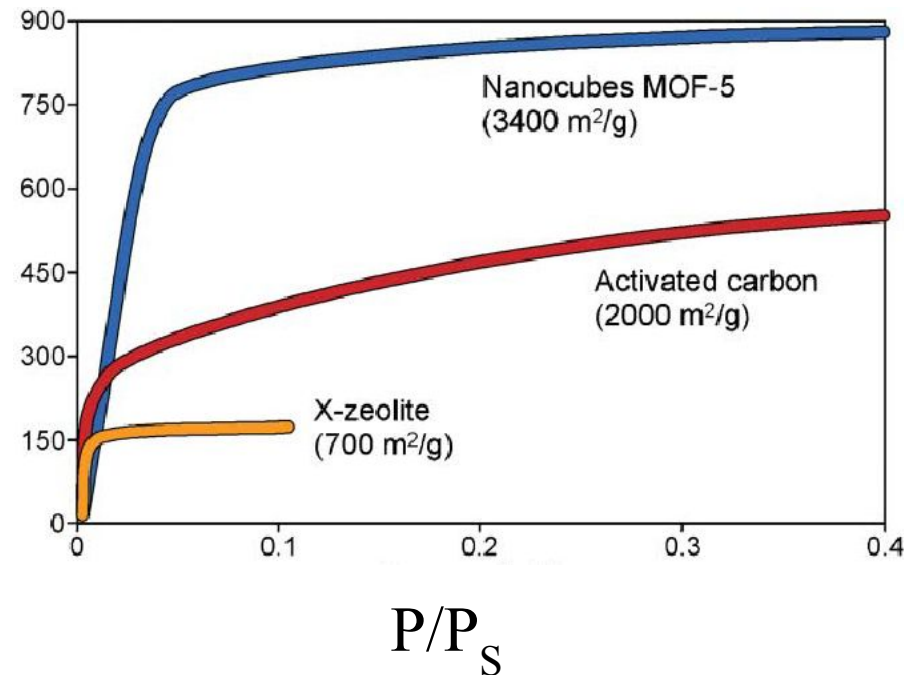
A. R. Millward, O.M. Yaghi *J. Am. Chem. Soc.* 2005, 127, 17998

Адсорбція аргону при 87 К на $Zn_4O(bdc)_3$ у порівнянні з активованим вугіллям і цеолітом X



1 mm
Мікрофотографія великих кристалів $Zn_4O(bdc)_3$, отримана методом СЕМ (шкала - 1 мм)

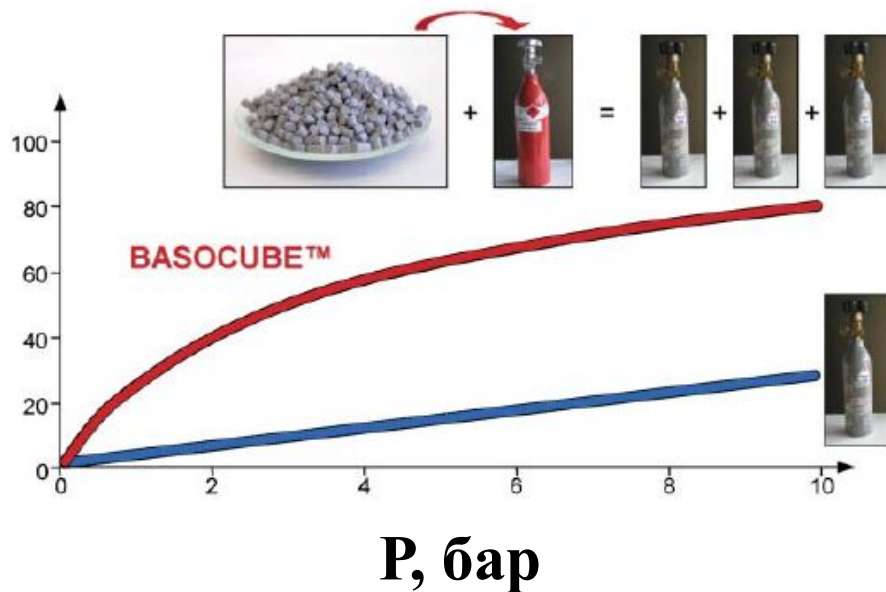
Сорбційна ємність (cm^3/g за н.у.)



U. Mueller, M. Schubert, F. Teich, H. Puetter, K. Schierle-Arndt, J. Pastre *J. Mater. Chem.*, 2006, 16, 626.

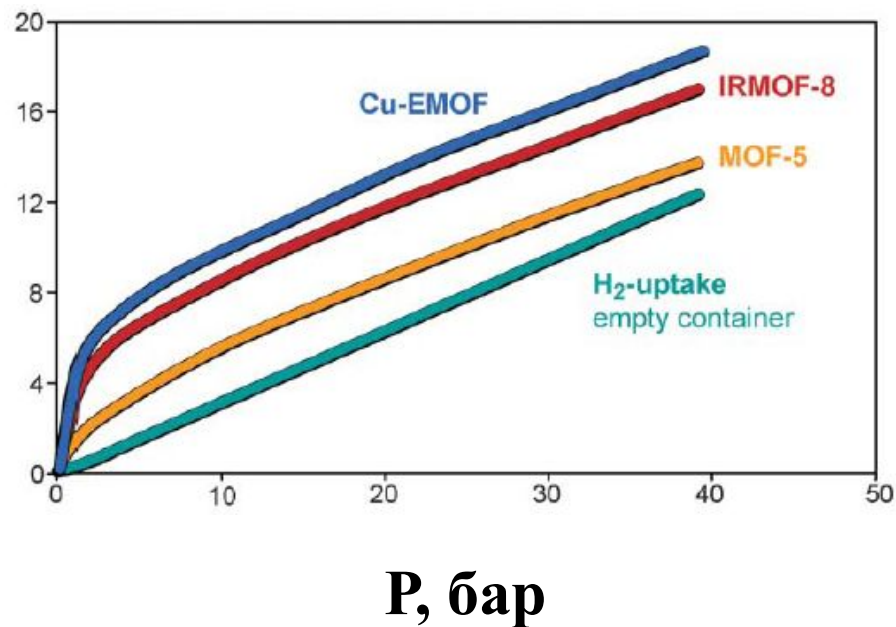
Порівняння поглинання пропану порожнім контейнером і контейнером з $Zn_4O(bdc)_3$.

Поглинання C_3H_8
(г на 1 літр контейнеру)



Порівняння поглинання H_2 (77 К) порожнім контейнером і трьома ПКП: Cu-EMOF (аналог HKUST-1), IRMOF-8 і $Zn_4O(bdc)_3$.

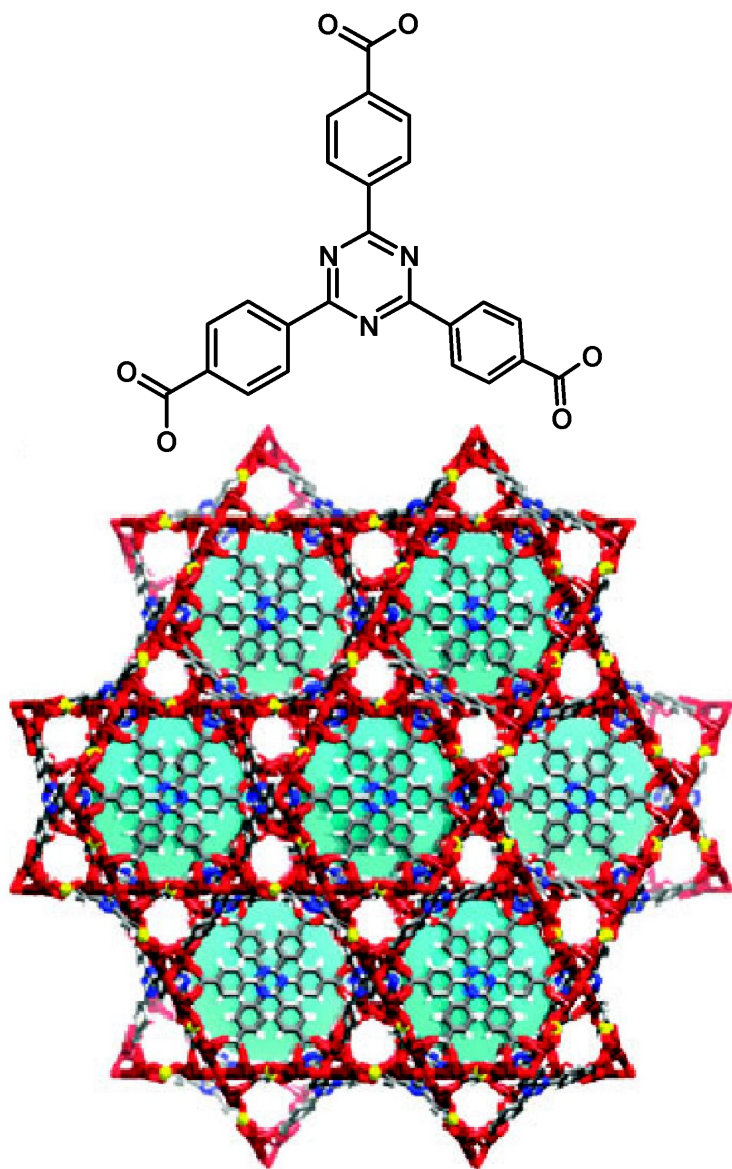
Поглинання H_2
(г на 1 літр контейнеру)



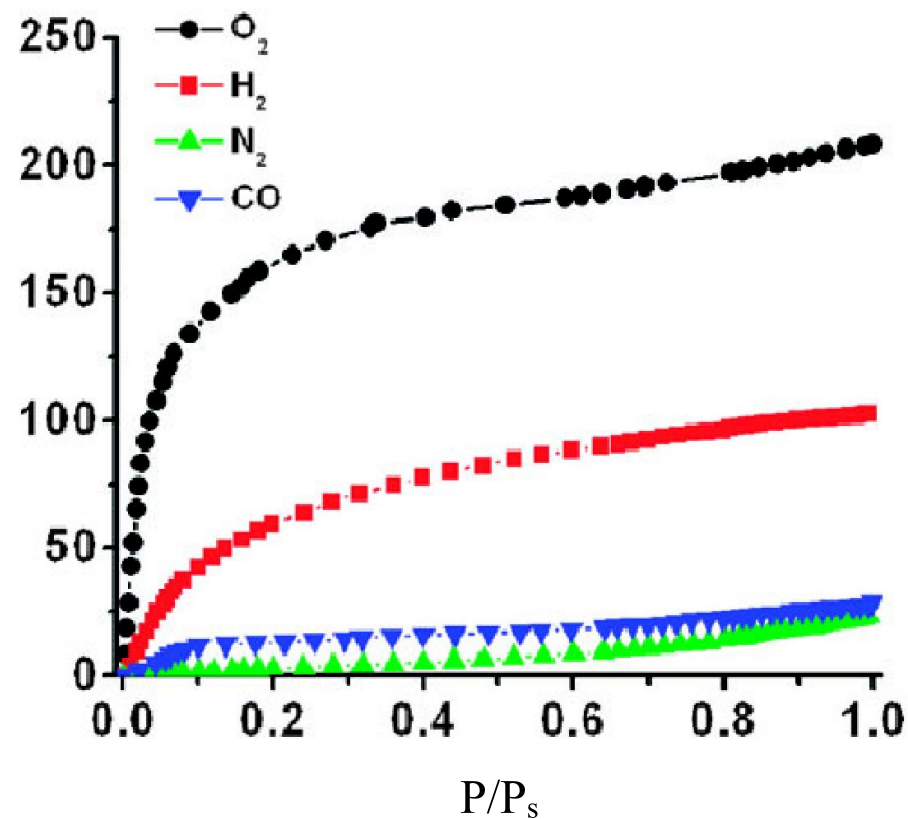
U. Mueller, M. Schubert, F. Teich, H. Puetter, K. Schierle-Arndt, J. Pastre *J. Mater. Chem.*, 2006, 16, 626.

Ситовий ефект

S. Q. Ma, X. S. Wang, D. Q. Yuan and H.-C. Zhou, *Angew. Chem., Int. Ed.*, 2008, 47, 4130–4133.

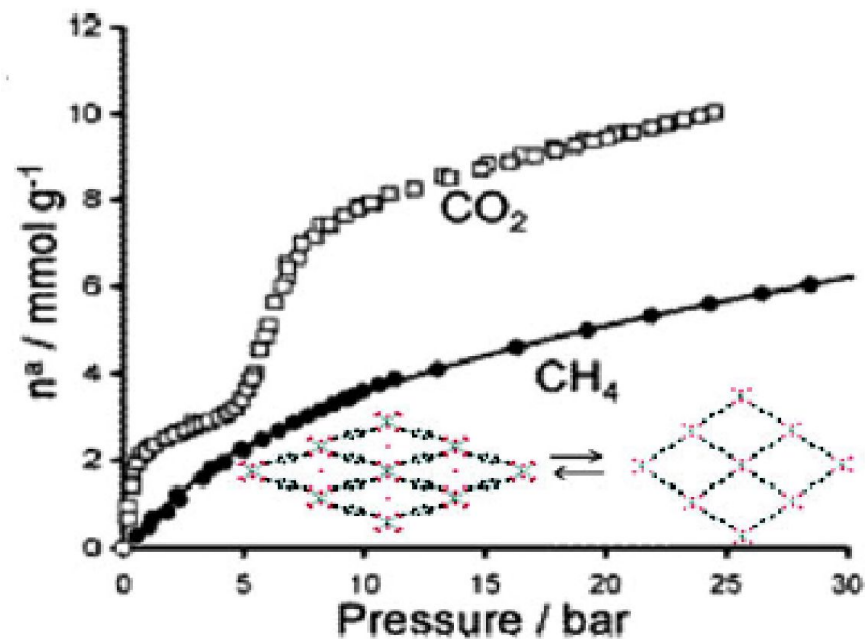
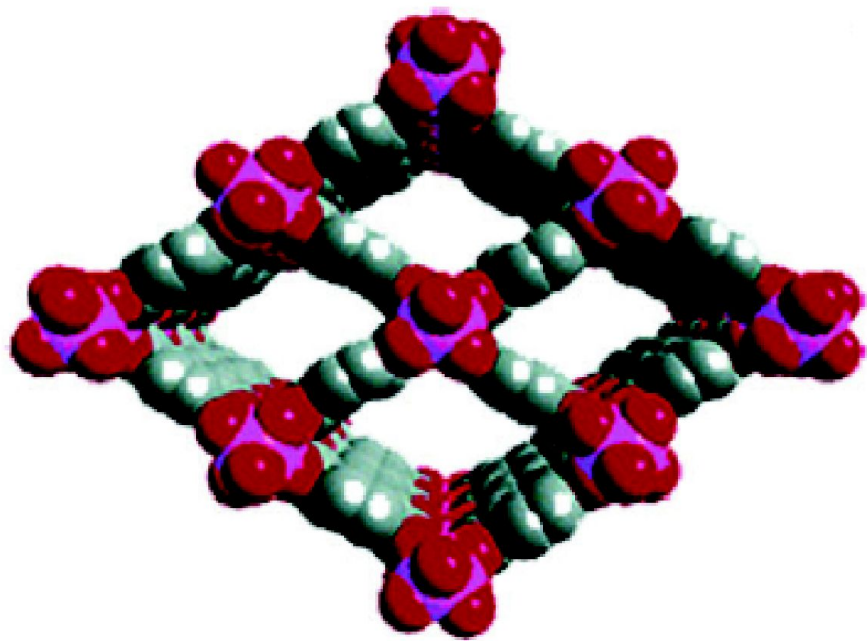


$V, \text{ cm}^3/\text{g (н.у.)}$



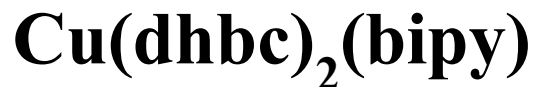
Дихаючі полімери

Cr(OH)(bdc)

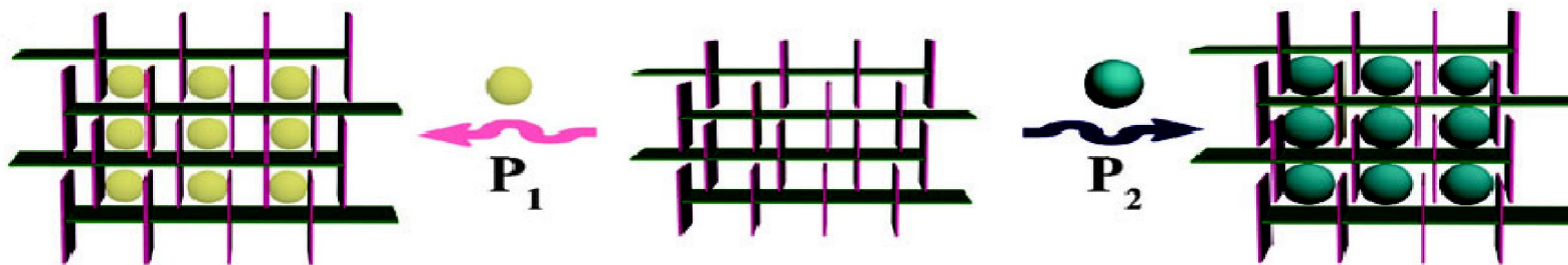
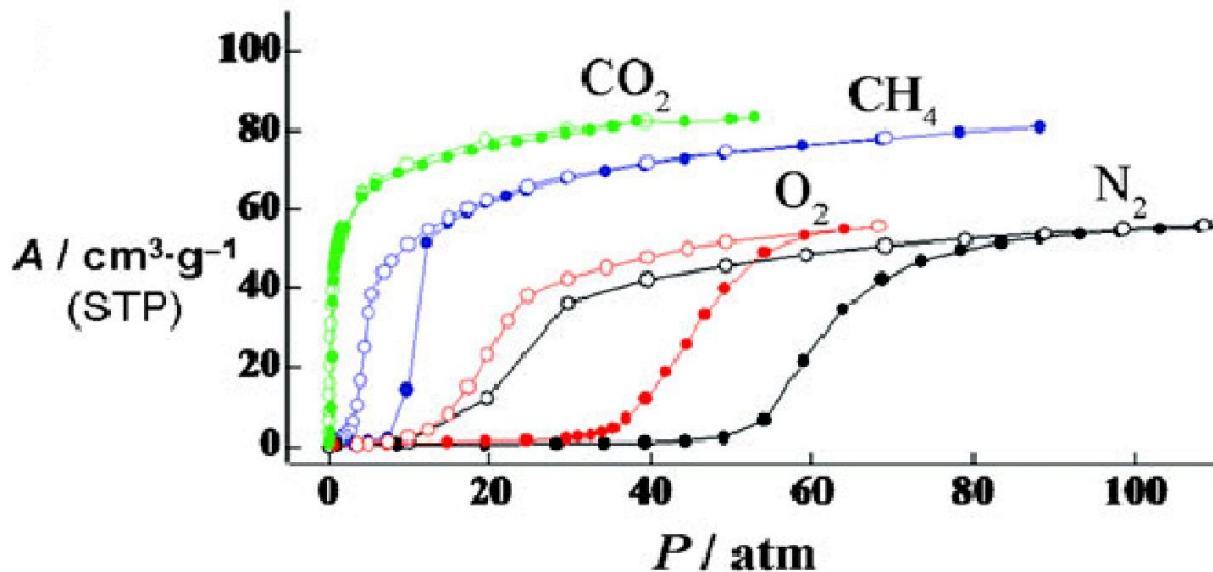
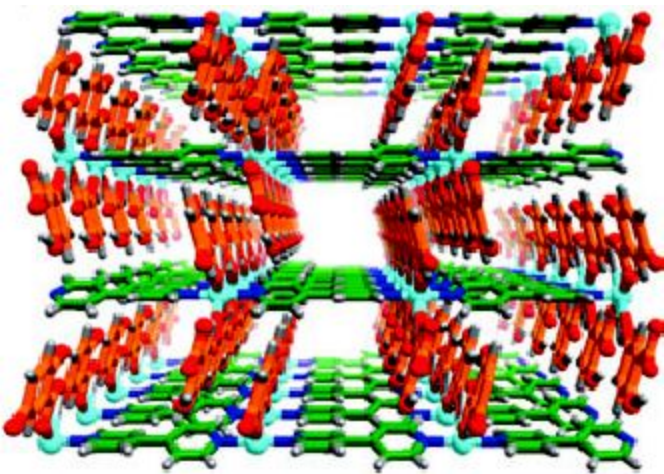


S. Bourrelly, P. L. Llewellyn, C. Serre, F. Millange, T. Loiseau, G. Férey,
J. Am. Chem. Soc., 2005, 127, 13519–13521.

Ефект “розкриття каналів”



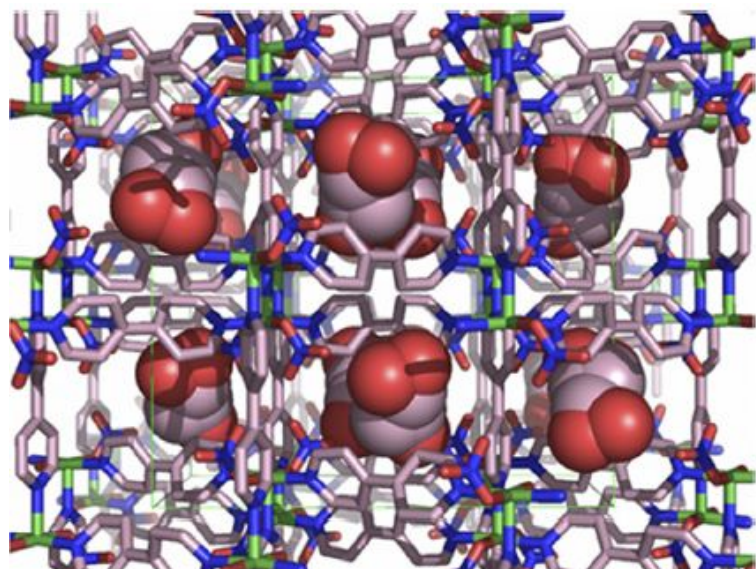
Hdhbc = 2,5-дигідробензойна кислота



R. Kitaura, K. Seki, G. Akiyama and S. Kitagawa,
Angew. Chem., Int. Ed., 2003, 42, 428–431.

ЛОКАЛІЗАЦІЯ МОЛЕКУЛ-ГОСТЕЙ В ПОРАХ ПРЯМОЇ МЕТОДАМИ (РСТА)

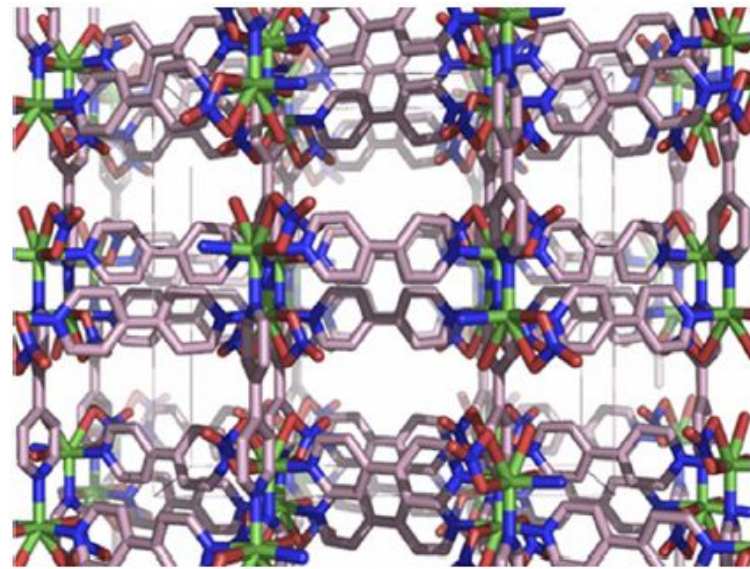
С.І. Керпєт, М.І. Россєнєвський, Chem. Comm. 1999, 75



пара етанолу,
кімн. темп.



100 С



Ni - зелений
O - червоний
N - блакитний
C - рожевий